

# Reporte

Carlos Brito

Maestro: Arturo Espinosa

9 de marzo de 2017

## 1. Introducción

El propósito de este documento es reportar los métodos y resultados de la “Primer Evaluación” del módulo de transformaciones geométricas.

## 2. Momentos de Hu

Los momentos de Hu son invariantes a la traslación, escala y rotación.

Sea  $\mathbf{f}_H \in \mathbb{R}^7$  tal que  $\mathbf{f}_i = I_i$  donde  $I_i$  es el  $i$ -ésimo momento de Hu. Nosotros llamamos  $\mathbf{f}_H$  la firma de Hu.

Nosotros denotamos la firma de Hu de un contorno  $C$  como

$$\mathbf{f}_H(C)$$

Es fácil ver que como cada momento de Hu es invariante a las transformaciones mencionadas, entonces  $\mathbf{f}_H$  es invariante. Es decir:

$$\mathbf{f}_H(C) = \mathbf{f}_H(C_t) \quad (1)$$

Donde  $C_t$  es un contorno transformado.

## 3. Descriptores de Fourier

Dado un contorno  $C(x, y)$ , nosotros podemos representarlo en el plano complejo con un parámetro  $t$ . Entonces sea un contorno  $C(x(t), y(t))$  parametrizado por  $t$ , su representación en el plano complejo es:

$$z[t] = x(t) + y(t)i \quad (2)$$

Además, dado el centroide  $c = (\bar{x}, \bar{y})$  del contorno, entonces podemos eliminar el sesgo corriendo de la siguiente forma:

$$z[t] = [x(t) - \bar{x}] + [y(t) - \bar{y}]i \quad (3)$$

Sea  $\mathbf{f}_F$  la firma de Fourier. Donde cada entrada  $\mathbf{f}_F^i$  esta dada por:

$$\mathbf{f}_F^i = ( |Z[i]|, \phi(Z[i]) ) \quad (i = 1, \dots, n)$$

Donde  $|\bullet|$  es el módulo complejo,  $\phi(z)$  indica el ángulo fase de un complejo  $z$  y finalmente  $Z[m] = \mathcal{F}\{ z[t] \}$ .

Es decir, la firma de Fourier contiene las primeras  $n$  entradas (sin incluir el origen) de la transformada de Fourier del contorno.

Aquí, queremos explorar la relación entre las firmas de la imagen original y transformada.

## 4. Métricas

Para medir la *similitud*  $\rho$  entre 2 contornos con respectivas firmas  $\mathbf{f}_1$  y  $\mathbf{f}_2$  de Hu, nosotros definimos  $\rho$  como:

$$\rho = \|\mathbf{f}_1 - \mathbf{f}_2\|_2 \quad (4)$$

Donde  $\|\bullet\|_2$  es la norma  $L2$ . Para explorar la relación entre las firmas de Fourier, nosotros graficaremos la magnitud y fase, en dos gráficas diferentes para cada par de imagen original y transformada.

## 5. Resultados

### 5.1. Hu

La siguiente tabla presenta la métrica  $\rho$  definida en la sección anterior. Aquí  $\mathbf{f}_1$  es la firma de Hu del contorno original mientras que  $\mathbf{f}_2$  es la firma de Hu del contorno transformado con los parámetros que se indican en las columnas. Aunque no se muestra en la tabla, el contorno se trasladó con  $t = (t_x, t_y)$  donde  $t_x, t_y \in [-10, 100]$  son números aleatorios.

Escala ( $s$ )	Rotación ( $\theta$ )	$\rho$
0.5	0	0
0.5	$\pi/3$	0
0.5	$\pi/2$	0
0.5	$\pi$	0
0.5	$(225/180)\pi$	0
1	0	0
1	$\pi/3$	0
1	$\pi/2$	0
1	$\pi$	0
1	$(225/180)\pi$	0
1.5	0	0
1.5	$\pi/3$	0
1.5	$\pi/2$	0
1.5	$\pi$	0
1.5	$(225/180)\pi$	0
3	0	0
3	$\pi/3$	0
3	$\pi/2$	0
3	$\pi$	0
3	$(225/180)\pi$	0

Los resultados fueron probados sobre **Bailarina.png**. Es innecesario presentar la tabla para **Delfin.png** ya que es exactamente la misma.

## 5.2. Fourier

En esta sección se presentan los resultados de aplicar las transformaciones geométricas de escala, traslación y rotación. Se proponen ciertas relaciones entre cada transformación y los efectos en los descriptores de Fourier. Solo se trabajará con la imagen **Delfin.png** para minimizar el espacio usado.

En otras palabras, queremos ver que pasa al alterar los parámetros para las transformaciones  $s$ ,  $t = (t_x, t_y)$  y  $\theta$  sobre la magnitud y fase.

Primero veamos como se ven las gráficas de la imagen original en las Figuras 1 y 2. Hay que notar que los parámetros originales son  $s = 1$ ,  $t = (0, 0)$  y  $\theta = 0$ .

Empezando a explorar, es sensato solo alterar un parámetro del contorno. Primeramente, alteremos la traslación corriendo 10 unidades hacia la izquierda y 100 hacia abajo. I.e.  $t = (-10, 100)$ . Las gráficas se ven en las Figuras 3 y 4. Es claro que las gráficas no varían al ser alterado el parámetro de traslación. Por esto, nosotros sugerimos que ambas la magnitud y la fase son invariantes a traslación.

Segundo, queremos observar que pasa cuando alteramos la escala del contorno. Si hacemos  $s = 3$ , las gráficas se ven de la siguiente forma en las Figuras 5 y 6.

De las figuras, vemos que la magnitud se correlaciona con la escala. Es decir, la magnitud depende linealmente de la escala. Como sea, la fase no cambia entonces esta es invariante a escala.

Terceramente, nosotros alteramos el parámetro  $\theta = \pi$ . En las Figuras 8 y 7.

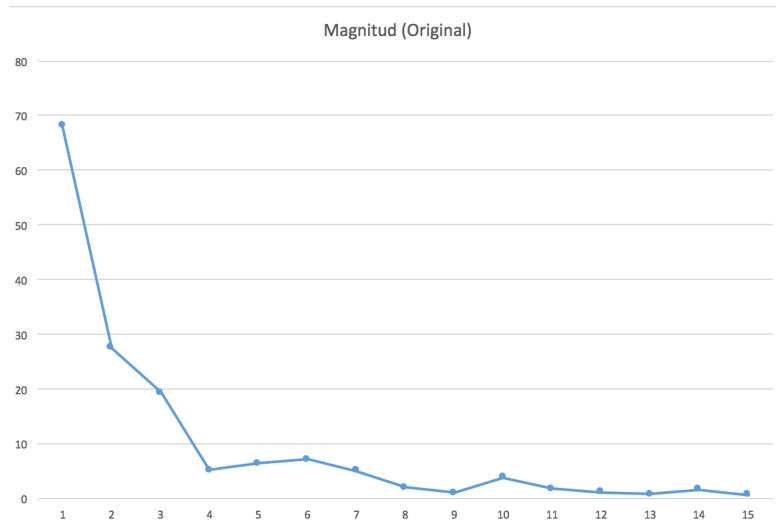


Figura 1: Gráfica de la magnitud original

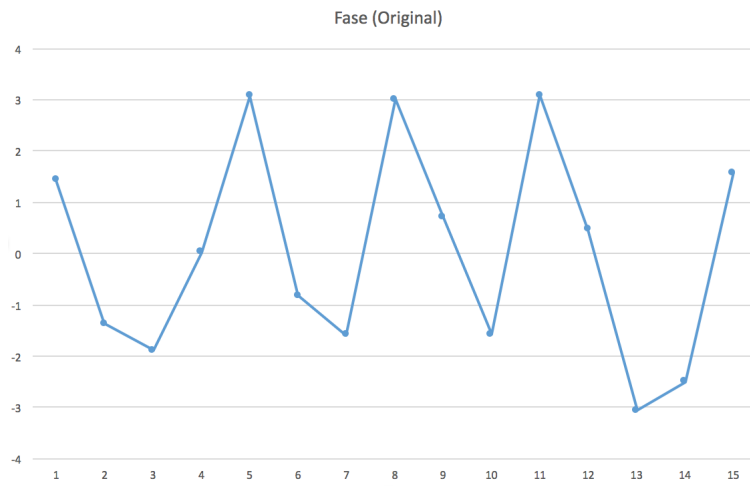


Figura 2: Gráfica de la fase original

Aquí vemos que la fase parece estar “reflejada” con respecto a la fase original. Igualmente, nosotros hipotetizamos que la fase depende linealmente de  $\theta$ . En este caso parece que los valores de la fase están multiplicados por  $-1$ .

Finalmente, nosotros damos los parámetros  $s = 5$ ,  $t = (10, 40)$  y  $\theta = 1$ . Nosotros esperamos que las gráficas de la magnitud transformada estén escaladas y que sus valores sean mayores. Además esperamos que la fase esté también escalada.

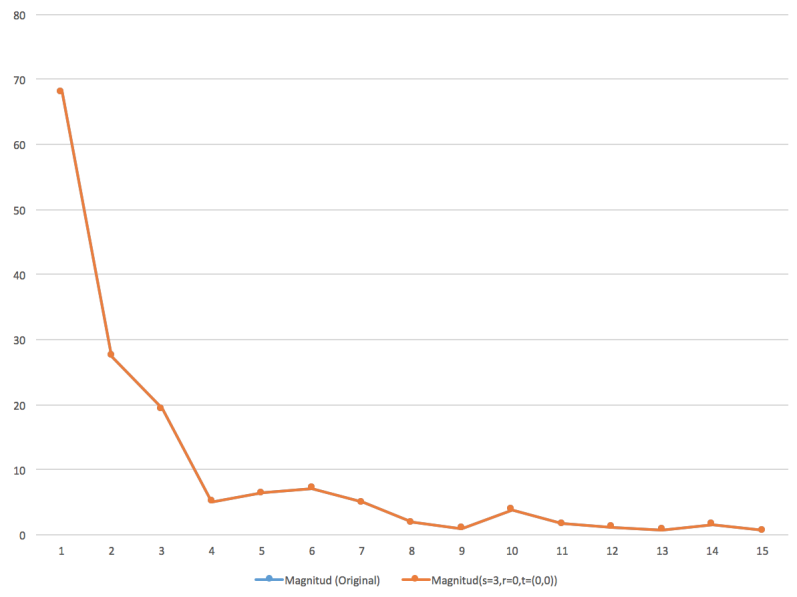


Figura 3: Gráfica de la magnitud para  $s = 1$ ,  $t = (-10, 100)$ ,  $\theta = 0$

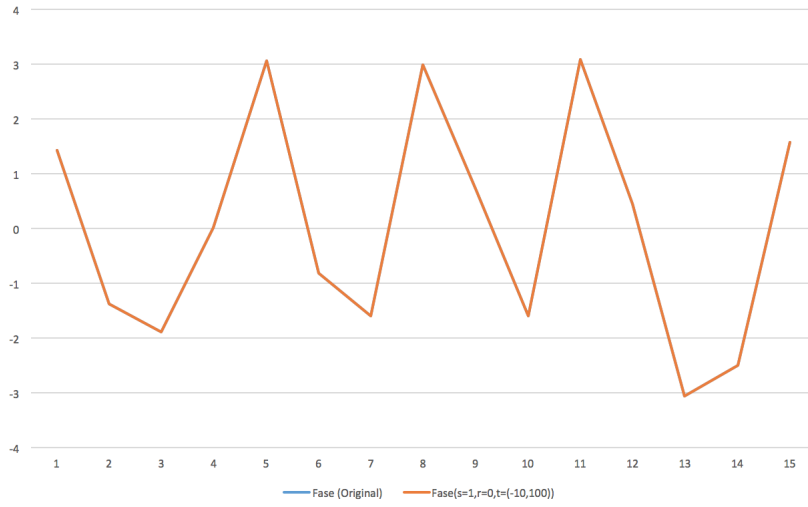


Figura 4: Gráfica de la fase para  $s = 1$ ,  $t = (-10, 100)$ ,  $\theta = 0$

## 6. Conclusión

Para el caso de Hu, nosotros podemos concluir que la firma de Hu es invariante a cualquier tipo de transformación mencionada en este reporte. Al tener una distancia de 0 entre cualquier vector transformado y original, nosotros solo podemos concluir que sus entradas son invariantes.

En el caso de los descriptores de Fourier, nosotros vimos que la magnitud dependía de la escala y la fase de la rotación. Esto concuerda con la teoría. Si

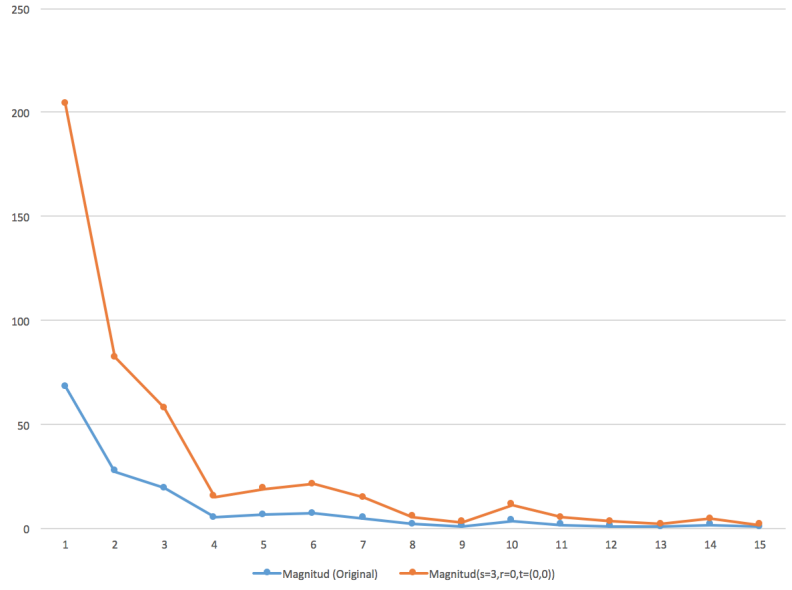


Figura 5: Gráfica de la magnitud para  $s = 3$ ,  $t = (0, 0)$ ,  $\theta = 0$

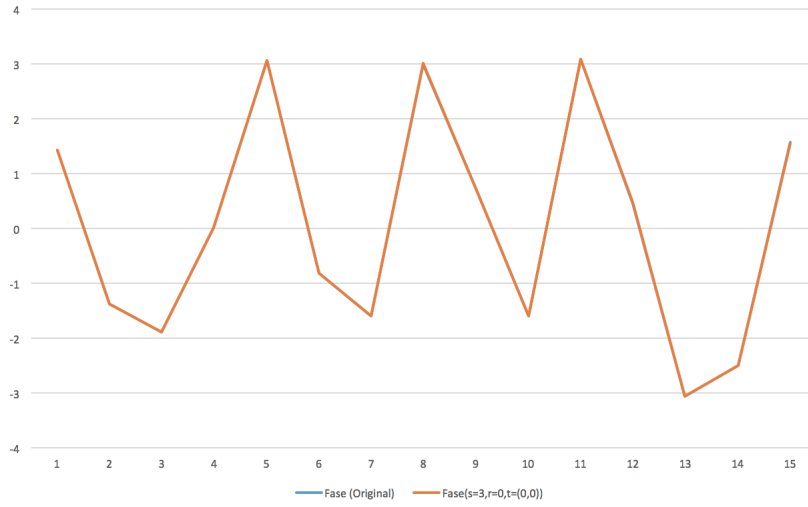


Figura 6: Gráfica de la fase para  $s = 3$ ,  $t = (0, 0)$ ,  $\theta = 0$

multiplicamos un contorno  $z[t]$  por un factor  $S$  entonces su descriptor de Fourier estará multiplicado por el mismo factor. I.e.

$$z'[t] = Sz[t] \Rightarrow Z'[k] = SZ[k] \quad (5)$$

De la misma forma, al rotar un contorno  $z[t]$  por un ángulo  $\phi$ , su descriptor de Fourier será multiplicado por un factor  $e^{i\phi}$ . I.e.

$$z'[t] = z[t]e^{i\phi} \Rightarrow Z'[k] = Z[k]e^{i\phi} \quad (6)$$

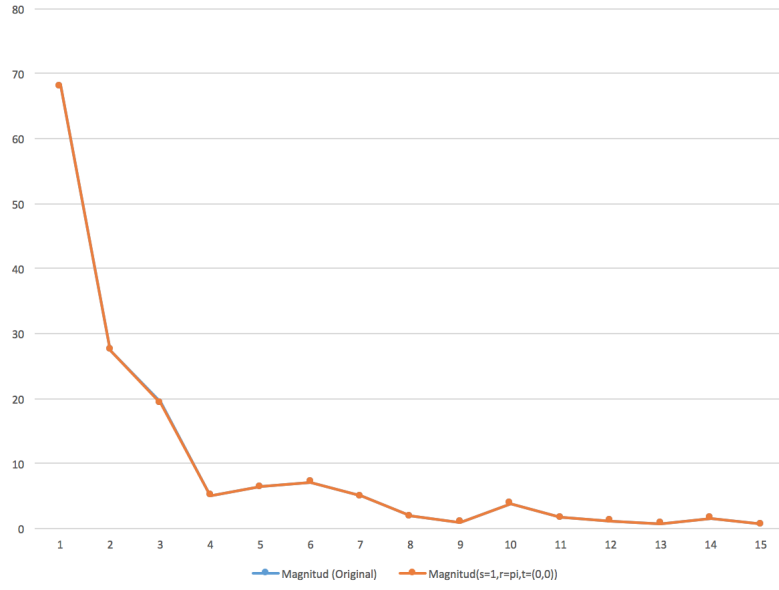


Figura 7: Gráfica de la magnitud para  $s = 1$ ,  $t = (0, 0)$ ,  $\theta = \pi$

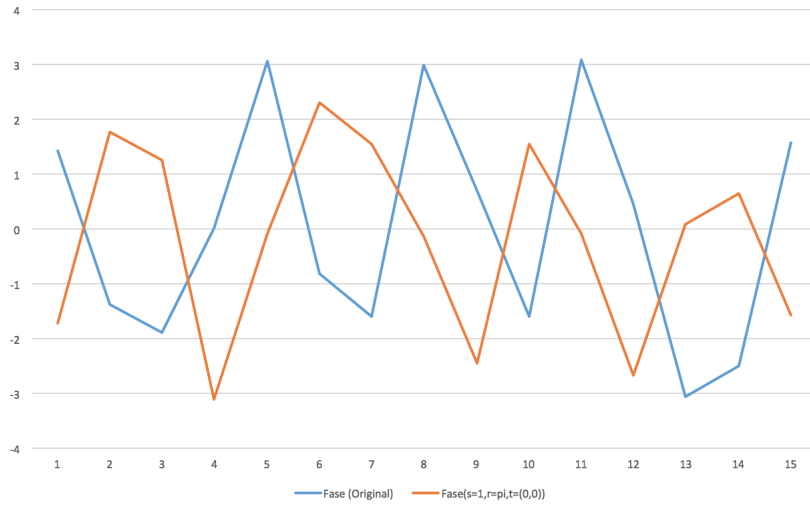


Figura 8: Gráfica de la fase para  $s = 1$ ,  $t = (0, 0)$ ,  $\theta = \pi$

Esto explica porque la Figura 8 estaba completamente reflejada, ya que  $e^{i\pi} = -1$  y también porque la Figura 10 tenía valores mas chicos;  $Re(e^i) < 1$  e  $Im(e^i) < 1$ .

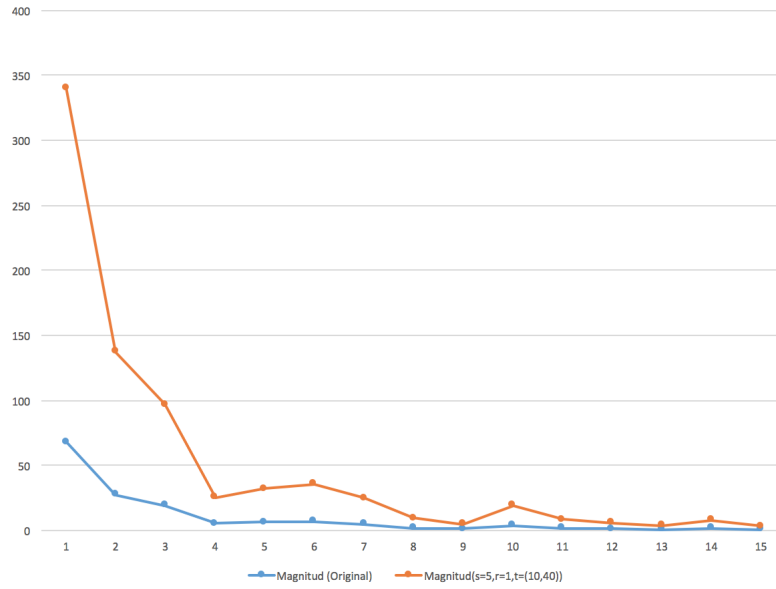


Figura 9: Gráfica de la fase para  $s = 5$ ,  $t = (10, 40)$ ,  $\theta = 1$

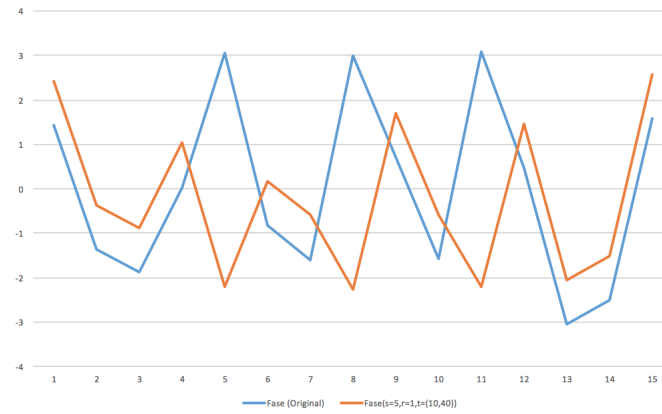


Figura 10: Gráfica de la fase para  $s = 5$ ,  $t = (10, 40)$ ,  $\theta = 1$